



UNIVERSIDAD AUTÓNOMA DEL
ESTADO DE MORELOS



Problema de Sturm-Liouville en la Física de la Materia Condensada actual



Rolando Pérez Álvarez, Miladys Despaigne Rosell
y Oscar E. Nazario Sánchez

Centro de Investigación en Ciencias-IICBA,
Universidad Autónoma del Estado de Morelos

rpa@uaem.mx

Índice

1. 180 años del problema de Sturm y Liouville.
2. Sistemas a capas; excitaciones y problemas.
3. Difusión en sistemas anisótropos e inhomogéneos.
4. Teoría de masa efectiva en sistemas anisótropos e inhomogéneos.
5. Modelo Fenomenológico completo para los modos ópticos polares.
6. Excitaciones magnetoeléctricas.
7. ¿Hace falta una generalización del problema de SL?
8. Conclusiones y comentarios.

EXTRAIT

D'un Mémoire sur le développement des fonctions en séries dont les différents termes sont assujettis à satisfaire à une même équation différentielle linéaire, contenant un paramètre variable ;

PAR MM. C. STURM ET J. LIOUVILLE.

Soient x une variable indépendante comprise entre deux limites données x , X ; g , k , l trois fonctions positives de x ; r un paramètre indéterminé; et V une fonction de x et de r , qui satisfasse à la fois à l'équation indéfinie

$$(1) \quad \frac{d\left(k \frac{dV}{dx}\right)}{dx} + (gr - l)V = 0,$$

et à la condition définie

$$(2) \quad \frac{dV}{dx} - hV = 0 \quad \text{pour } x = x,$$

dans laquelle h représente un nombre donné positif. Il est aisé de trouver une fonction V qui vérifie ces deux équations et qui ne devienne identiquement nulle pour aucune valeur déterminée de r , lorsque x reste indéterminée. On s'est beaucoup occupé des propriétés de la fonction V dans différents mémoires auxquels nous renverrons le lecteur¹.

- [1] C. Sturm and J. Liouville. « Extrait d'un mémoire sur le développement des fonctions en séries dont les différents termes sont assujettis à satisfaire à une même équation différentielle linéaire, contenant un paramètre variable. » french. In: *Journal de Mathématiques Pures et Appliquées* (1837), pp. 220-222.
url: <http://eudml.org/doc/235395>.
- [2] J. Liouville. « Second Mémoire sur le développement des fonctions ou parties de fonctions en séries dont les divers termes sont assujettis à satisfaire à une même équation différentielle du second ordre, contenant un paramètre variable. » fre. In: *Journal de Mathématiques Pures et Appliquées* (1837), pp. 16-35.
url: <http://eudml.org/doc/235133>.
- [3] J. Liouville. « Troisième mémoire sur le développement des fonctions ou parties de fonctions en séries dont les divers termes sont assujettis à satisfaire à une même équation différentielle du second ordre, contenant un paramètre variable. » fre. In: *Journal de Mathématiques Pures et Appliquées* (1837), pp. 418-436.
url: <http://eudml.org/doc/233892>

[4] Anton Zettl. *Sturm-Liouville Theory*. Mathematical Surveys and Monographs, 2005. isbn: 0-8218-3905-5 (alk. paper).
doi: <http://dx.doi.org/10.1090/surv/121>.

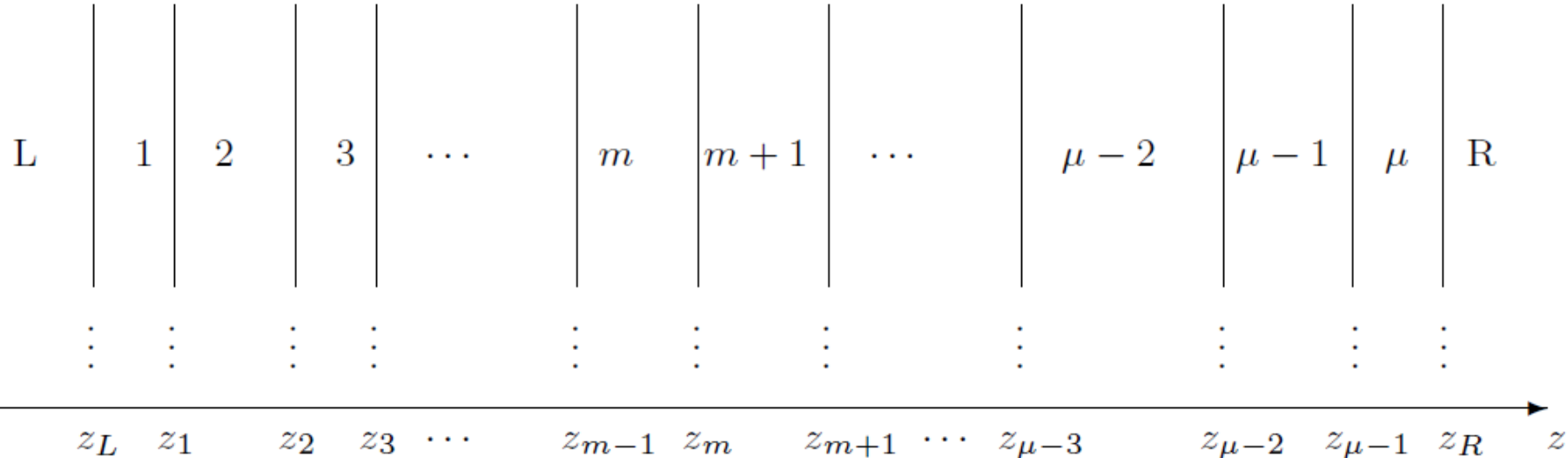
[5] W. Norrie Everitt. “A Catalogue of Sturm-Liouville Differential Equations”. In: *Sturm-Liouville Theory: Past and Present*. Ed. by Werner O. Amrein, Andreas M. Hinz, and David P. Pearson. Basel: Birkhäuser Basel, 2005, pp. 271-331. isbn: 978-3-7643-7359-7.
doi: 10.1007/3-7643-7359-8_12
url: http://dx.doi.org/10.1007/3-7643-7359-8_12



Def.	Ecuación	Intervalo	Condición sobre p	Condición sobre q	Condición sobre w	Enfoque de autovaleores	Ref.
1	$\frac{d}{dx} \left(p(x) \frac{dy}{dx} \right) + q(x)y + \lambda w(x)y = 0$	$a \leq x \leq b$	Real, continua, positiva y con derivada continua.	Real y continua	Real, continua y positiva.	no	[1]
2	$\frac{d}{dx} \left(p(x) \frac{dy}{dx} \right) + q(x)y + \lambda w(x)y = 0$	$a < x < b$	continua y positiva.	continua	continua y positiva.	sí	[2]
3	$\frac{d}{dx} \left(p(x) \frac{dy}{dx} \right) + q(x)y + \lambda w(x)y = 0$	$a < x < b$	Real, continua, positiva y con derivada continua.	Real y continua	Real, continua y positiva.	sí	[3], [16]
4	$\frac{d}{dx} \left(p(x) \frac{dy}{dx} \right) + q(x)y - \lambda w(x)y = 0$	$a \leq x \leq b$	Real	Real	Real	sí	[4]
5	$\frac{d}{dx} \left(p(x) \frac{dy}{dx} \right) - q(x)y + \lambda w(x)y = 0$	$a \leq x \leq b$	continua, positiva y con derivada continua.	continua	continua y positiva.	sí	[5], [9]

Probablemente lo más importante es que suceda lo siguiente:

$$\langle \hat{L}f | g \rangle = \langle f | \hat{L}g \rangle + [p(gf' - fg')]_a^b$$



Forma general de una heteroestructura con capas extremas L (izquierda), R (derecha) y desde 1 hasta μ son las distintas capas intermedias entre z_L y z_R . A menos que se indique otra cosa, la capa L va de $-\infty$ a z_L mientras que R va de z_R a $+\infty$. $z_0 \equiv z_L$ y $z_\mu \equiv z_R$.

$$\mathbf{F}(\vec{r}, t) = \mathbf{F}(z) e^{i(\vec{\kappa} \cdot \vec{\rho} - \omega t)}$$

$$\vec{\kappa} = \kappa_x \vec{e}_x + \kappa_y \vec{e}_y$$

$$\vec{\rho} = x \vec{e}_x + y \vec{e}_y .$$

Excitaciones:

1. Elásticas
2. Oscilaciones ópticas
3. ...
4. Electromagnéticas
5. Piezoeléctricas
6. Piezomagnéticas
7. En materiales
bianisotrópicos
8. ...
9. Teoría de Masa Efectiva
10. Teoría de Funciones
Envolventes
11. Pseudopotenciales
- 12....
13. Excitaciones
superconductoras
- 14....

Problemas:

1. Barreras infinitas
2. Extremos libres
3. Condiciones de Bloch
4. ...
5. Escape
6. Captura
7. Regularidad en el
infinito
8. ...

Nosotros nos permitimos escribir la ecuación original y la nuestra con las siguientes notaciones y cambios

$$\frac{d}{dz} \left(B(z) \frac{dF(z)}{dz} \right) + W(z)F(z) = 0$$

$$\frac{d}{dz} \left(B(z) \frac{dF(z)}{dz} + P(z)F(z) \right) + Y(z) \frac{dF(z)}{dz} + W(z)F(z) = 0$$

En lugar de V , estamos denotando F a la función incógnita. El lugar de k en la ecuación como la escribieron Sturm y Liouville ahora lo tiene $B(z)$. Aparecen $P(z)$ y $Y(z)$, y $W(z)$ contiene a $gr - l$. Probablemente lo más importante en esta pequeña generalización de la ecuación de SL que se estudia es la presencia de las funciones $P(z)$ y $Y(z)$. En una cantidad significativa de casos $P(z) = Y(z) = 0$ o las funciones son muy bien comportadas y $P(z) + Y(z) = 0$, con lo cual la ecuación nuestra se reduce a la clásica con una maniobra algebraica sencilla.

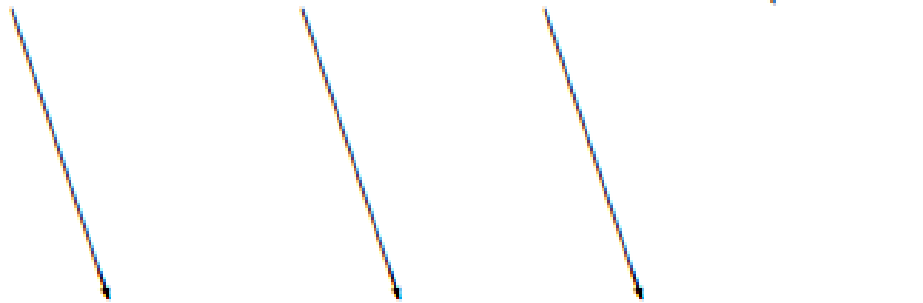
Difusión en sistemas anisótropos e inhomogéneos

$$\frac{\partial u(\vec{r},t)}{\partial t} = \nabla \cdot \left(\vec{D}(\vec{r}) \cdot \nabla u(\vec{r},t) \right)$$

$$u(\vec{r},t) = F(z) \ e^{i\vec{\kappa} \cdot \vec{r}} T(t)$$

$$\vec{a} = (D_{31}(z), D_{32}(z), D_{33}(z)) \ ; \ \vec{b} = (D_{13}(z), D_{23}(z), D_{33}(z))$$

$$\frac{d}{dz} \left[D_{33}(z) \frac{dF(z)}{dz} + i(\vec{\kappa} \cdot \vec{a}) F(z) \right] + i(\vec{\kappa} \cdot \vec{b}) \frac{dF(z)}{dz} - \left(\vec{\kappa} \cdot \vec{D}(z) \cdot \vec{\kappa} - \lambda \right) F(z) = 0$$



$$\frac{d}{dz} \left[B(z) \frac{dF(z)}{dz} + P(z) F(z) \right] + Y(z) \frac{dF(z)}{dz} + W(z) F(z) = 0$$

$$B = B^\dagger \ ; \ P = -Y^\dagger \ ; \ W = W^\dagger$$

Teoría de masa efectiva en sistemas anisótropos e inhomogéneos

$$\frac{1}{2} \hat{\vec{p}} \cdot [\vec{\nu}(\vec{r}) \cdot \hat{\vec{p}} F(\vec{r})] + (V(\vec{r}) - E) F(\vec{r}) = 0$$

$$\hat{\vec{p}} = -i\hbar\nabla ; \quad \vec{\nu}(\vec{r}) = [\vec{\mu}(\vec{r})]^{-1}$$

$$F(\vec{r}) = F(z) e^{i\vec{\kappa} \cdot \vec{p}}$$

$$\vec{a} = (\nu_{31}(z), \nu_{32}(z), \nu_{33}(z)) ; \quad \vec{b} = (\nu_{13}(z), \nu_{23}(z), \nu_{33}(z))$$

$$\frac{d}{dz} \left[\nu_{33}(z) \frac{dF(z)}{dz} - i(\vec{\kappa} \cdot \vec{a}) F(z) \right] - i(\vec{\kappa} \cdot \vec{b}) \frac{dF(z)}{dz} - \left(\vec{\kappa} \cdot \vec{\nu}(z) \cdot \vec{\kappa} - \frac{(V(z) - E)}{\hbar^2} \right) F(z) = 0$$



$$\frac{d}{dz} \left[B(z) \frac{dF(z)}{dz} + P(z) F(z) \right] + Y(z) \frac{dF(z)}{dz} + W(z) F(z) = 0$$

$$B = B^\dagger ; \quad P = -Y^\dagger ; \quad W = W^\dagger$$

Modelo Fenomenológico Completo para excitaciones ópticas polares

$$\begin{aligned}\mathcal{L} &= \frac{1}{2} \left(\frac{\partial \mathbf{u}}{\partial t} \right) \cdot \rho \left(\frac{\partial \mathbf{u}}{\partial t} \right) + \frac{1}{2} \mathbf{u} \cdot \boldsymbol{\gamma} \cdot \mathbf{u} - \mathbf{u} \cdot \boldsymbol{\alpha} \cdot \nabla \varphi + \\ &\quad \frac{1}{2} (\nabla \varphi) \cdot \boldsymbol{\delta} \cdot (\nabla \varphi) + \frac{1}{8\pi} (\nabla \varphi) \cdot (\nabla \varphi) + \frac{1}{2} (\nabla \mathbf{u}) : \boldsymbol{\lambda} : (\nabla \mathbf{u}) \\ \boldsymbol{\sigma} &= \boldsymbol{\lambda} : \nabla \mathbf{u} \quad \text{Hooke}\end{aligned}$$

$$\begin{aligned}\rho \frac{\partial^2 \mathbf{u}}{\partial t^2} - \boldsymbol{\gamma} \cdot \mathbf{u} + \boldsymbol{\alpha} \cdot \nabla \varphi + \nabla \cdot \boldsymbol{\sigma} &= 0 \\ \nabla \cdot \left(-\boldsymbol{\alpha} \cdot \mathbf{u} + \boldsymbol{\delta} \cdot \nabla \varphi + \frac{1}{4\pi} \nabla \varphi \right) &= 0\end{aligned}$$

En medios isótropos e inhomogéneos con dependencias en z de los parámetros ... se desacopla el modo TH (Transversal Horizontal) y para los modos sagitales queda:

$$\frac{d}{dz} \left[B(z) \frac{dF(z)}{dz} + P(z)F(z) \right] + Y(z) \frac{dF(z)}{dz} + W(z)F(z) = 0$$

$$\mathbf{B}(z) = \begin{pmatrix} \rho\beta_T^2 & 0 & 0 \\ 0 & \rho\beta_L^2 & 0 \\ 0 & 0 & \frac{\epsilon_\infty}{4\pi} \end{pmatrix}$$

$$\mathbf{P}(z) = \begin{pmatrix} 0 & 0 & 0 \\ i\kappa\rho(\beta_L^2 - \beta_T^2) & 0 & \alpha \\ 0 & 0 & 0 \end{pmatrix} ; \quad \mathbf{Y}(z) = \begin{pmatrix} 0 & i\kappa\rho(\beta_L^2 - \beta_T^2) & 0 \\ 0 & 0 & 0 \\ 0 & -\alpha & 0 \end{pmatrix}$$

$$\mathbf{W}(z) = \begin{pmatrix} -\rho[(\omega^2 - \omega_T^2) + \kappa^2\beta_L^2] & -i\kappa(\rho\beta_T^2) & i\kappa\alpha \\ i\kappa(\rho\beta_T^2) & -\rho[(\omega^2 - \omega_T^2) + \kappa^2\beta_T^2] & -\alpha' \\ -i\kappa\alpha & -\alpha' & -\frac{\epsilon_\infty}{4\pi}\kappa^2 \end{pmatrix}$$

$$B = B^\dagger ; \quad P = -Y^\dagger ; \quad W = W^\dagger$$

Materiales no polares $\Leftrightarrow \alpha = 0$

Modos acústicos $\Leftrightarrow \beta_T = iv_T; \beta_L = iv_L; \omega_T = \omega_L = 0$

Materiales bianisotrópicos

$$\vec{D} = \vec{\epsilon} \cdot \vec{E} + \vec{\chi} \cdot \vec{B}$$

$$\vec{H} = \vec{\xi} \cdot \vec{E} + \vec{\nu} \cdot \vec{B}$$

El óxido de cromo antiferromagnético es un ejemplo (Astrov, 1960). Dzyalozhinskii en 1960 propuso

$$\begin{pmatrix} a & 0 & 0 \\ 0 & a & 0 \\ 0 & 0 & c \end{pmatrix}$$

para las cuatro matrices involucradas.

Tellegen estudió otros sistemas donde las cuatro matrices son escalares y $\chi = \xi$ con $\chi^2 \simeq \epsilon\mu$.

Estudios específicos de propagación de ondas en una subclase de medios bianisotrópicos se pueden encontrar en los trabajos de Chen et al de 2013 y de Chang et al de 2014. En este caso, la estructura de estos tensores es

$$\vec{\epsilon} = \begin{pmatrix} \epsilon_x & 0 & 0 \\ 0 & \epsilon_y & 0 \\ 0 & 0 & \epsilon_z \end{pmatrix} ; \quad \vec{\mu} = \begin{pmatrix} \mu_x & 0 & 0 \\ 0 & \mu_y & 0 \\ 0 & 0 & \mu_z \end{pmatrix}$$
$$\vec{\chi} = \begin{pmatrix} 0 & 0 & 0 \\ 0 & 0 & \chi_{23} \\ 0 & 0 & 0 \end{pmatrix} ; \quad \vec{\xi} = \begin{pmatrix} 0 & 0 & 0 \\ 0 & 0 & 0 \\ 0 & \xi_{32} & 0 \end{pmatrix}$$

$$\vec{\epsilon} = \vec{\epsilon}(z); \vec{\chi} = \vec{\chi}(z)$$

$$\vec{\xi} = \vec{\xi}(z); \vec{\nu} = \vec{\nu}(z)$$

$$\begin{aligned}\nabla \cdot (\vec{\epsilon} \cdot \vec{E} + \vec{\chi} \cdot \vec{B}) &= \rho_f \\ \nabla \times (\vec{\xi} \cdot \vec{E} + \vec{\nu} \cdot \vec{B}) &= \vec{j}_f + \frac{\partial (\vec{\epsilon} \cdot \vec{E} + \vec{\chi} \cdot \vec{B})}{\partial t}\end{aligned}$$

$$\begin{aligned}\vec{E} &= -\nabla\phi + C_4 \frac{\partial \vec{A}}{\partial t} \\ \vec{H} &= \nabla \times \vec{A}\end{aligned}$$

$$\begin{aligned}\phi(\vec{r}, t) &= \phi(z) e^{i(\vec{\kappa} \cdot \vec{r} - \omega t)} \\ \vec{A}(\vec{r}, t) &= \vec{A}(z) e^{i(\vec{\kappa} \cdot \vec{r} - \omega t)}\end{aligned}$$

Para aligerar la carga de índices y en general las notaciones definamos

$$\alpha_{jmn} = \chi_{jk} e_{kmn}$$

$$\beta_{ijm} = e_{ijk} \xi_{km}$$

$$\gamma_{ijmn} = e_{ijk} \nu_{kl} e_{lmn}$$

$$\mathbf{F}(z) = (F_1, F_2, F_3, F_4)^t = (\phi, A_1, A_2, A_3)^t$$

$$\bullet \\ \bullet \\ \bullet$$

$$\frac{d}{dz} \left(\mathbf{B}(z) \cdot \frac{d\mathbf{F}(z)}{dz} + \mathbf{P}(z) \cdot \mathbf{F}(z) \right) + \mathbf{Y}(z) \cdot \frac{d\mathbf{F}(z)}{dz} + \mathbf{W}(z) \cdot \mathbf{F}(z) = \mathbf{0}$$

$$\begin{aligned}\mathbf{B}(z) &= \mathbf{B} \left(\vec{\epsilon}(z), \vec{\nu}(z), \vec{\xi}(z), \vec{\chi}(z) \right) \\ \mathbf{P}(z) &= \mathbf{P} \left(\vec{\epsilon}(z), \vec{\nu}(z), \vec{\xi}(z), \vec{\chi}(z) \right) \\ \mathbf{Y}(z) &= \mathbf{Y} \left(\vec{\epsilon}(z), \vec{\nu}(z), \vec{\xi}(z), \vec{\chi}(z) \right) \\ \mathbf{W}(z) &= \mathbf{W} \left(\vec{\epsilon}(z), \vec{\nu}(z), \vec{\xi}(z), \vec{\chi}(z) \right)\end{aligned}$$

$$\mathbf{B} = \begin{pmatrix} -\epsilon_{zz} & \alpha_{zz1} & \alpha_{zz2} & \alpha_{zz3} \\ -\beta_{1zz} & \gamma_{1zz1} & \gamma_{1zz2} & \gamma_{1zz3} \\ -\beta_{2zz} & \gamma_{2zz1} & \gamma_{2zz2} & \gamma_{2zz3} \\ -\beta_{3zz} & \gamma_{3zz1} & \gamma_{3zz2} & \gamma_{3zz3} \end{pmatrix}$$

$$\mathbf{B} = \mathbf{B}^\dagger$$

$$\mathbf{P} = -\mathbf{Y}^\dagger$$

$$\mathbf{W} = \mathbf{W}^\dagger$$

Ubicuidad del problema de Sturm-Liouville matricial

$$\begin{aligned}\mathcal{L} = & \frac{1}{2} \frac{\partial \mathbf{F}}{\partial t} \cdot \boldsymbol{\rho} \cdot \frac{\partial \mathbf{F}}{\partial t} + \frac{1}{2} \frac{\partial \mathbf{F}}{\partial t} \cdot \boldsymbol{\Omega} \cdot \mathbf{F} + \frac{1}{2} \mathbf{F} \cdot \boldsymbol{\gamma} \cdot \mathbf{F} \\ & + \frac{1}{2} \nabla \mathbf{F} : \boldsymbol{\lambda} : \nabla \mathbf{F} + \mathbf{F} \cdot \boldsymbol{\mu} : \nabla \mathbf{F} + \nabla \mathbf{F} : \boldsymbol{\chi} \cdot \frac{\partial \mathbf{F}}{\partial t}.\end{aligned}$$

Caso	$\boldsymbol{\rho}$	$\boldsymbol{\Omega}$	$\boldsymbol{\gamma}$	$\boldsymbol{\lambda}$	$\boldsymbol{\mu}$	$\boldsymbol{\chi}$
Elasticidad	$\neq 0$	$= 0$	$= 0$	$\neq 0$	$= 0$	$= 0$
Modelo Fenomenológico Completo	$\neq 0$	$= 0$	$\neq 0$	$\neq 0$	$\neq 0$	$= 0$
Electromagnetismo	$\neq 0$	$= 0$	$= 0$	$\neq 0$	$= 0$	$\neq 0$

$$\frac{d}{dz} \left[\mathbf{B}(z) \cdot \frac{d\mathbf{F}(z)}{dz} + \mathbf{P}(z) \cdot \mathbf{F}(z) \right] + \mathbf{Y}(z) \cdot \frac{d\mathbf{F}(z)}{dz} + \mathbf{W}(z) \cdot \mathbf{F}(z) = \mathbf{0} .$$

$$B_{\nu\alpha} = \frac{1}{2}(\lambda_{3\nu 3\alpha} + \lambda_{3\alpha 3\nu}) ,$$

$$P_{\nu\alpha} = \frac{1}{2} \sum_i^2 i \kappa_i (\lambda_{3\nu i\alpha} + \lambda_{i\alpha 3\nu}) + \mu_{\alpha 3\nu} - i\omega \chi_{3\nu\alpha} ,$$

$$Y_{\nu\alpha} = \frac{1}{2} \sum_k^2 i \kappa_k (\lambda_{k\nu 3\alpha} + \lambda_{3\alpha k\nu}) - \mu_{\nu 3\alpha} - i\omega \chi_{3\alpha\nu} ,$$

$$W_{\nu\alpha} = -\frac{1}{2} \sum_k^2 \sum_i^2 \kappa_k \kappa_i (\lambda_{k\nu i\alpha} + \lambda_{i\alpha k\nu}) \\ + i \sum_k^2 \kappa_k \mu_{\alpha k\nu} - i \sum_j^2 \kappa_j \mu_{\nu j\alpha}$$

$$-\frac{1}{2}\omega^2(\rho_{\nu\alpha} + \rho_{\alpha\nu}) - \frac{1}{2}(\gamma_{\nu\alpha} + \gamma_{\alpha\nu})$$

$$+\omega \sum_i^2 \kappa_i \chi_{i\alpha\nu} + \omega \sum_k^2 \kappa_k \chi_{k\nu\alpha} + \frac{1}{2}i\omega(\Omega_{\alpha\nu} - \Omega_{\nu\alpha})$$

¿Hace falta una generalización del problema de SL?

$$\frac{d}{dz} \left[\mathbf{B}(z) \cdot \frac{d\mathbf{F}(z)}{dz} + \mathbf{P}(z) \cdot \mathbf{F}(z) \right] + \mathbf{Y}(z) \cdot \frac{d\mathbf{F}(z)}{dz} + \mathbf{W}(z) \cdot \mathbf{F}(z) = \mathbf{0}.$$

Conclusiones y comentarios

- El problema de Sturm-Liouville aparece de manera persistente en el amplio mundo de las excitaciones elementales en medios no homogéneos.
- Hay que hacer una pequeña generalización al problema planteado por Sturm y Liouville en 1837. Cobra relevancia la forma lineal $\mathbf{A} = \mathbf{B}\mathbf{F}' + \mathbf{P}\mathbf{F}$.
- El operador de Sturm-Liouville es hermiteano para varias condiciones de contorno físicamente muy significativas. Excepción de lo anterior son los problemas de captura, escape y regularidad en el ∞ .
- Para acometer diversos problemas de Sturm-Liouville se vienen introduciendo hace casi 70 años diversas matrices de transferencia de campos y de coeficientes, así como la función de Green. Varias matrices de transferencia son numéricamente inestables para grandes valores del autovalor y/o de los anchos de las capas. Algunas son inestables para anchos pequeños. Otras, como las de *scattering* e *híbrida* son estables en ambos límites.

¡GRACIAS!

